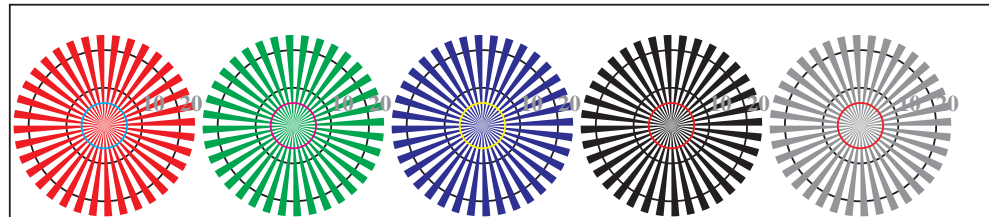


TF841-1, Fig. D4Wd: 16 équidistants étapes $W-R_d$; $W-G_d$; $W-B_d$; $W-N$; $rgb/cmy0 \rightarrow rgb_d$ setrgbcolor

+:-.	Q	O	O	O	C	lmno	C	O	C	O	O	pqrs	O	O	O	O	uvwxyz	O	O	O
xyz;	O	O	O	O	O	hijk	O	C	O	O	O	lmno	O	O	O	O	pqrz	O	O	O
tuvw	O	O	O	O	O	defg	O	O	O	O	O	hijk	O	O	O	O	lmno	O	O	O
pqrs	O	O	O	O	O	!abc	O	O	O	O	O	+:-.	O	O	O	O	defg	O	O	O
lmno	O	O	O	O	O	+:-.	O	O	O	O	O	xyz;	O	O	O	O	uvwxyz	O	O	O
hijk	C	C	C	C	O	tuvw	O	O	O	O	O	defg	O	O	O	O	defg	O	O	O
defg	O	O	O	O	O	pqrs	O	O	O	O	O	!abc	O	O	O	O	!abc	O	O	O
!abc	O	O	O	O	O	6	N	R_d	G_d	B_d	Z	6	N	R_d	G_d	B_d	Z	4	N	R_dG_dB_dZ
10	N	R_d	G_d	B_d	Z	8	N	R_d	G_d	B_d	Z	10	N	R_d	G_d	B_d	Z	12	N	R_dG_dB_dZ

TF841-3, Fig. D5Wd: code et Landolt anneau N ; R_d ; G_d ; B_d ; Z ; PS operator $rgb \rightarrow rgb_d$ setrgbcolor



radial callebotis $W-R_d$ radial callebotis $W-G_d$ radial callebotis $W-B_d$ radial callebotis $W-N$ radial callebotis $W-Z$



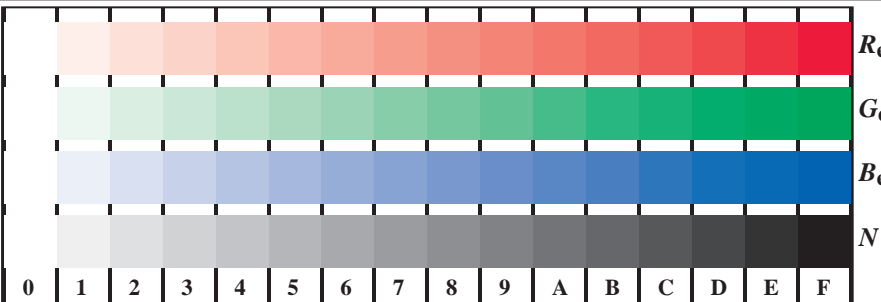
TF840-7, Fig. D3Wd: 14 CIE test couleurs et 2 + 16 gris étapes (sf); $rgb/cmy0 \rightarrow rgb_d$ setrgbcolor

0-1	anneaux Landolt $W-R_d$	Code	anneaux Landolt $W-G_d$	Code
7-8				
E-F				
2-0				
8-6				
F-D				

TF841-5, Fig. D6Wd: anneaux Landolt $W-R_d$; $W-G_d$; PS operator $rgb \rightarrow rgb_d$ setrgbcolor

0-1	anneaux Landolt $W-B_d$	Code	anneaux Landolt $W-N$	Code
7-8				
E-F				
2-0				
8-6				
F-D				

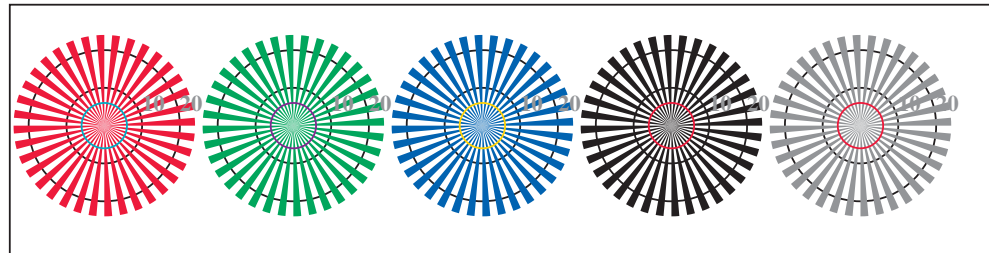
TF841-7, Fig. D7Wd: anneaux Landolt $W-B_d$; $W-N$; PS operator $rgb \rightarrow rgb_d$ setrgbcolor



TF841-1, Fig. D4We: 16 équidistants étapes $W-R_e; W-G_e; W-B_e; W-N$; $rgb/cmy0 \rightarrow rgb_e$ setrgbcolor

+-.: Q	O	O	O	O	C	lmno	C	O	C	O	O	pqrs	O	O	O	O	uvwxyz	O	O	O	O	uvw	O	O	O
xyz;	O	O	O	O	O	hijk	O	C	G	O	O	lmno	O	O	O	O	defg	O	O	O	O	pqrs	O	O	O
tuvw	O	O	O	O	O	defg	O	O	O	O	O	hijk	O	O	O	O	!abc	O	O	O	O	+-.:	O	O	O
pqrs	O	O	O	O	O	!abc	O	O	O	O	O	+-.:	O	O	O	O	xyz;	O	O	O	O	xuvw	O	O	O
lmno	O	O	O	O	O	xyz;	O	O	O	O	O	tuvw	O	O	O	O	defg	O	O	O	O	defg	O	O	O
hijk	C	C	C	C	O	tuvw	O	O	O	O	O	!abc	O	O	O	O	!abc	O	O	O	O	6 N R _e G _e B _e Z	N	R _e G _e B _e Z	
defg	O	O	O	O	O	pqrs	O	O	O	O	O	8 N R _e G _e B _e Z	N	R _e G _e B _e Z											
!abc	O	O	O	O	O	10 N R _e G _e B _e Z	N	R _e G _e B _e Z																	

TF841-3, Fig. D5We: code et Landolt anneau N ; R_e ; G_e ; B_e ; Z ; PS operator $rgb \rightarrow rgb_e$ setrgbcolor

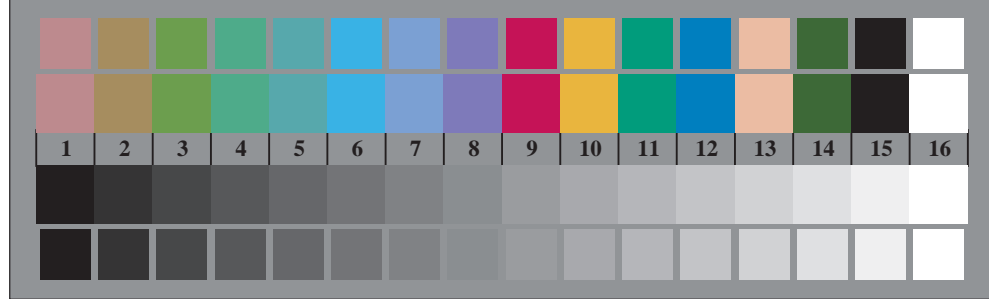


radial callebotis $W-R_e$ radial callebotis $W-G_e$ radial callebotis $W-B_e$ radial callebotis $W-N$ radial callebotis $W-Z$

TF840-5, Fig. D2We: radial callebotis $W-R_e$; $W-G_e$; $W-B_e$; $W-N$; PS operator $rgb \rightarrow rgb_e$ setrgbcolor

0-1	anneaux Landolt $W-R_e$	Code	anneaux Landolt $W-G_e$	Code
7-8				
E-F				
2-0				
8-6				
F-D				

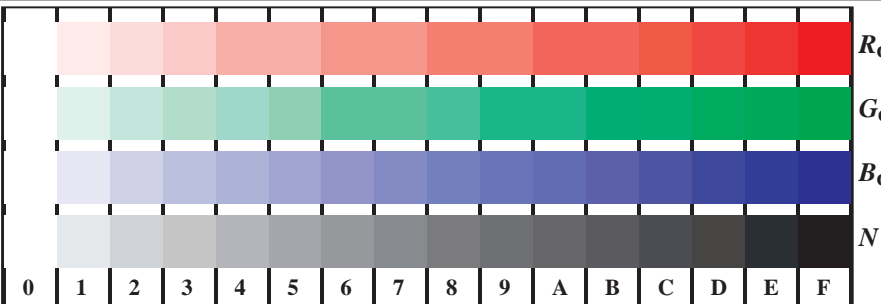
TF841-5, Fig. D6We: anneaux Landolt $W-R_e$; $W-G_e$; PS operator $rgb \rightarrow rgb_e$ setrgbcolor



TF840-7, Fig. D3We: 14 CIE test couleurs et 2 + 16 gris étapes (sf); $rgb/cmy0 \rightarrow rgb_e$ setrgbcolor

0-1	anneaux Landolt $W-B_e$	Code	anneaux Landolt $W-N$	Code
7-8				
E-F				
2-0				
8-6				
F-D				

TF841-7, Fig. D7We: anneaux Landolt $W-B_e$; $W-N$; PS operator $rgb \rightarrow rgb_e$ setrgbcolor



TF841-1, Fig. D4Wdd: 16 équidistantes étapes $W-R_d$; $W-G_d$; $W-B_d$; $W-N$; $rgb/cmy0 \rightarrow rgb_{dd}$ setrgbcolor

+:-.	Q	O	C	O	C	O	C	O	C	O	C	O	C	O	C	O	uvw	O	C	O
xyz;	O	O	C	O	C	O	C	O	C	O	C	O	C	O	C	O	pqr	O	C	O
tuvw	O	O	C	O	C	O	C	O	C	O	C	O	C	O	C	O	lmno	O	C	O
pqrs	O	O	C	O	C	O	C	O	C	O	C	O	C	O	C	O	defg	O	C	O
lmno	O	O	C	O	C	O	C	O	C	O	C	O	C	O	C	O	!abc	O	C	O
hijk	C	C	O	C	O	C	O	C	O	C	O	C	O	C	O	O	xyz;	O	C	O
defg	O	O	C	O	C	O	C	O	C	O	C	O	C	O	C	O	tuvw	O	C	O
!abc	O	O	C	O	C	O	C	O	C	O	C	O	C	O	O	O	+-.	O	C	O
																	xyz;	O	C	O
																	tuvw	O	C	O
																	defg	O	C	O
																	!abc	O	C	O
																	6	N	R_d G_d B_d Z	
																	8	N	R_d G_d B_d Z	
																	10	N	R_d G_d B_d Z	

R_d
 G_d
 B_d
 N

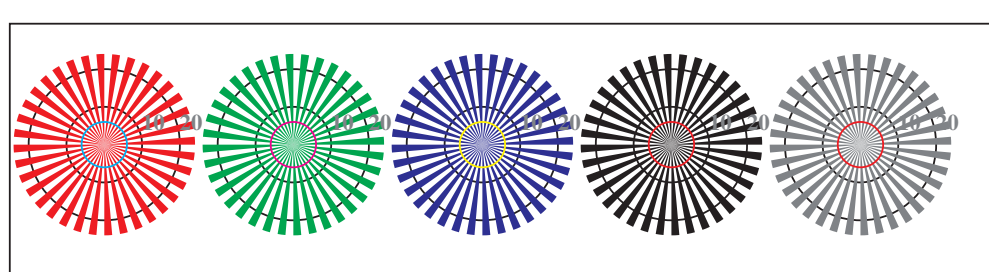
TF841-3, Fig. D5Wdd: code et Landolt anneau N ; R_d ; G_d ; B_d ; Z ; PS operator $rgb \rightarrow rgb_{dd}$ setrgbcolor

anneaux Landolt $W-R_d$	Code	anneaux Landolt $W-G_d$	Code
0-1	O	O	O
7-8	O	O	O
E-F	O	O	O
2-0	O	O	O
8-6	O	O	O
F-D	O	O	O

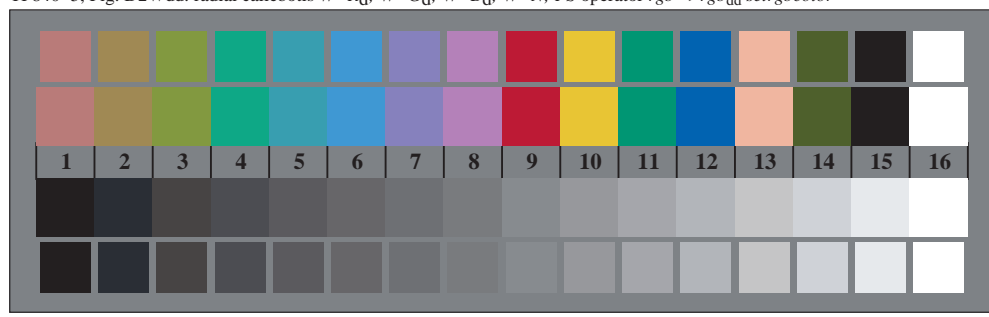
TF841-5, Fig. D6Wdd: anneaux Landolt $W-R_d$; $W-G_d$; PS operator $rgb \rightarrow rgb_{dd}$ setrgbcolor

anneaux Landolt $W-B_d$	Code	anneaux Landolt $W-N$	Code
0-1	O	O	O
7-8	O	O	O
E-F	O	O	O
2-0	O	O	O
8-6	O	O	O
F-D	O	O	O

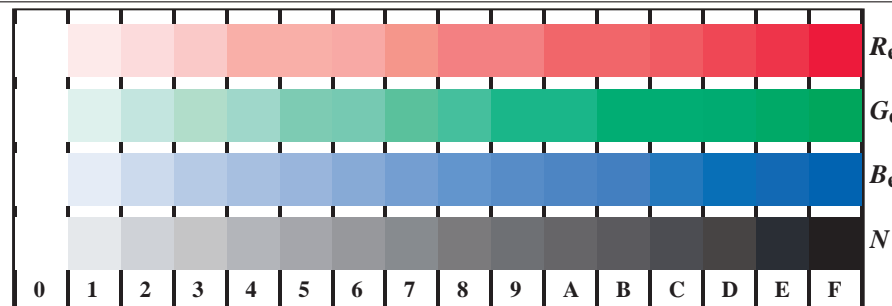
TF841-7, Fig. D7Wdd: anneaux Landolt $W-B_d$; $W-N$; PS operator $rgb \rightarrow rgb_{dd}$ setrgbcolor



radial callebotis $W-R_d$ radial callebotis $W-G_d$ radial callebotis $W-B_d$ radial callebotis $W-N$ radial callebotis $W-Z$



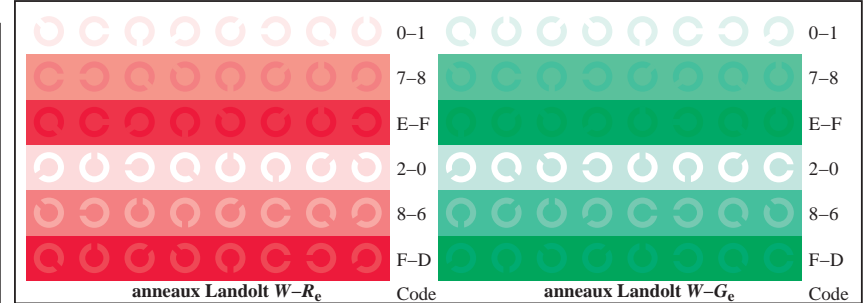
TF840-7, Fig. D3Wdd: 14 CIE test couleurs et 2 + 16 gris étapes (sf); $rgb/cmy0 \rightarrow rgb_{dd}$ setrgbcolor



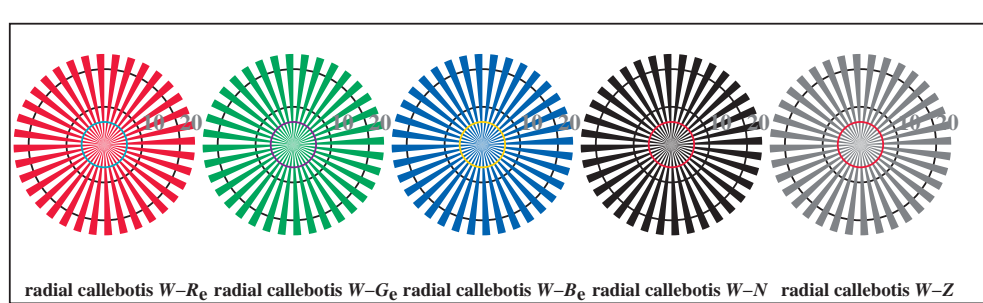
TF841-1, Fig. D4Wde: 16 équidistants étapes $W-R_e; W-G_e; W-B_e; W-N$; $rgb/cmy0 \rightarrow rgb_{de}$ setrgbcolor

+-.:	Q	O	C	O	C	O	C	O	C	O	C	O	C	O	C	O	C	O	uvw	O	C	O	O
xyz;	O	O	O	O	O	O	O	O	O	O	O	O	O	O	O	O	O	O	pqr	O	C	O	O
tuvw	O	O	O	O	O	O	O	O	O	O	O	O	O	O	O	O	O	O	lmno	O	C	O	O
pqrs	O	O	O	O	O	O	O	O	O	O	O	O	O	O	O	O	O	O	hijk	O	C	O	O
lmno	O	O	O	O	O	O	O	O	O	O	O	O	O	O	O	O	O	O	+-.:	O	C	O	O
hijk	C	C	C	C	C	C	C	C	C	C	C	C	C	C	C	C	C	C	xyz;	O	C	O	O
defg	O	O	O	O	O	O	O	O	O	O	O	O	O	O	O	O	O	O	tuvw	O	C	O	O
!abc	O	O	O	O	O	O	O	O	O	O	O	O	O	O	O	O	O	O	defg	O	C	O	O
6	N	R _e	G _e	B _e	Z																		
8	N	R _e	G _e	B _e	Z																		
10	N	R _e	G _e	B _e	Z																		

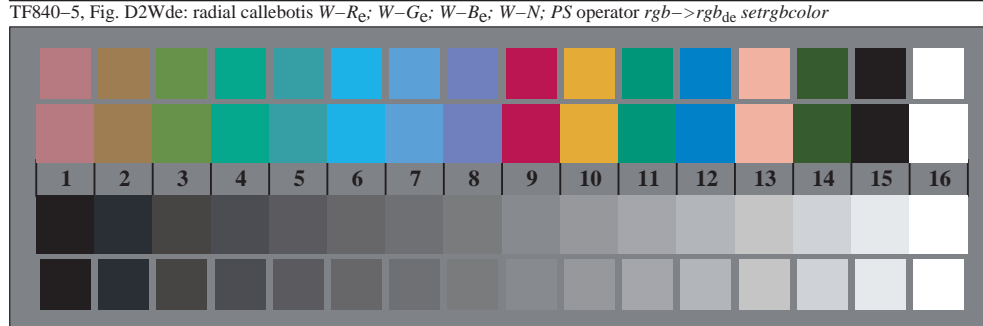
TF841-3, Fig. D5Wde: code et Landolt anneau $N; R_e; G_e; B_e; Z$; PS operator $rgb \rightarrow rgb_{de}$ setrgbcolor



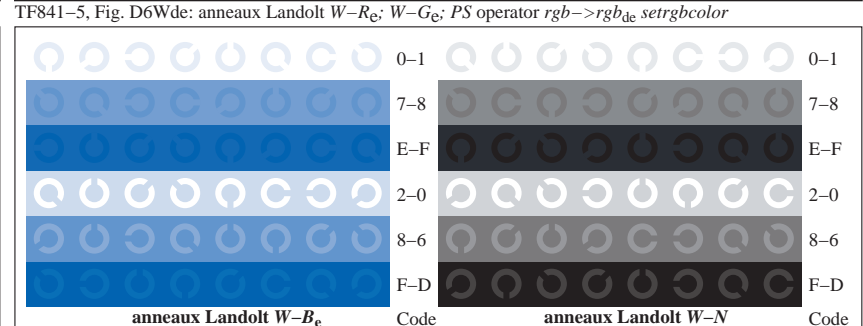
TF841-5, Fig. D6Wde: anneaux Landolt $W-R_e; W-G_e$; PS operator $rgb \rightarrow rgb_{de}$ setrgbcolor



radial callebotis $W-R_e$ radial callebotis $W-G_e$ radial callebotis $W-B_e$ radial callebotis $W-N$ radial callebotis $W-Z$



TF840-7, Fig. D3Wde: 14 CIE test couleurs et 2 + 16 gris étapes (sf); $rgb/cmy0 \rightarrow rgb_{de}$ setrgbcolor



TF841-7, Fig. D7Wde: anneaux Landolt $W-B_e; W-N$; PS operator $rgb \rightarrow rgb_{de}$ setrgbcolor